

# ИССЛЕДОВАНИЕ ОСОБЕННОСТЕЙ КИНЕТИКИ ТЕПЛОВЫХ ФОНОНОВ И СТРУКТУРЫ НАНОДИСПЕРСНЫХ ЖЕЛЕЗОСОДЕРЖАЩИХ КЕРМЕТОВ НА ОСНОВЕ КОРУНДА В ОБЛАСТИ ГЕЛИЕВЫХ ТЕМПЕРАТУР

*O. B. Карбань<sup>a,b\*</sup>, E. I. Саламатов<sup>a</sup>, A. B. Таранов<sup>b</sup>,  
E. H. Хазанов<sup>b</sup>, O. L. Хасанов<sup>c</sup>*

<sup>a</sup>*Физико-технический институт Уральского отделения Российской академии наук  
426000, Ижевск, Россия*

<sup>b</sup>*Институт радиотехники и электроники им. В. А. Котельникова Российской академии наук  
125009, Москва, Россия*

<sup>c</sup>*НИЦ перспективных технологий «Спектр» Томского политехнического университета  
620219, Томск, Россия*

Поступила в редакцию 7 ноября 2008 г.

Изучены особенности кинетики слабонеравновесных тепловых фонов субтерагерцевого диапазона в нанодисперсных железосодержащих керметах на основе корунда в области гелиевых температур. Показано, что при выбранном способе приготовления керметов, ограничивающем рост зерен железа, включения железа можно описывать как точечные центры захвата фононов. Изучены особенности транспорта неравновесных фонов в керамической матрице с центрами захвата металлической природы.

PACS: 61.46.-w

## 1. ВВЕДЕНИЕ

Интерес к материалам, синтезированным из нанопорошков, обусловлен широким спектром их физических и конструкционных свойств. Более высокая температура плавления, твердость, износостойкость, химическая инертность, малый удельный вес — те свойства, по которым керамики могут превосходить металлы. В то же время отсутствие пластичности (хрупкость), низкие значения ударной вязкости ограничивают применение керамики как конструкционного материала. Введение металлической фракции в диэлектрическую керамическую матрицу позволило создать композиционные материалы (керметы), совмещающие достоинства керамики и металлов. В качестве включений пластичного металла, как правило, использовались Ag, Al, Ni, Fe [1–4].

Важное требование, предъявляемое к керметам, — металлические включения должны плотно связывать керамическую матрицу, а их характерные размеры не должны превышать критический размер, при котором термические напряжения могли бы индуцировать трещины вокруг зерен металла. Чем меньше размер зерен металла в диэлектрической керамической матрице, тем большими могут быть различия в коэффициентах теплового расширения металла и материала матрицы, поскольку термические напряжения пропорциональны  $R^3_{\text{Fe}}$  [5], где  $R$  — средний размер фрагментов структуры керамики, в данном случае железа.

При переходе в ультрадисперсное состояние физические и конструкционные свойства материала могут существенно изменяться. В работе [6] было показано, что теплофизические свойства нанодисперсных композитов  $(\text{ZrO}_2 \cdot \text{Y}_2\text{O}_3) + 14\% \text{Al}_2\text{O}_3$  в области гелиевых температур резко меняются в результате образования «щели» в фононном спектре.

---

\*E-mail: ocsa123@yahoo.com

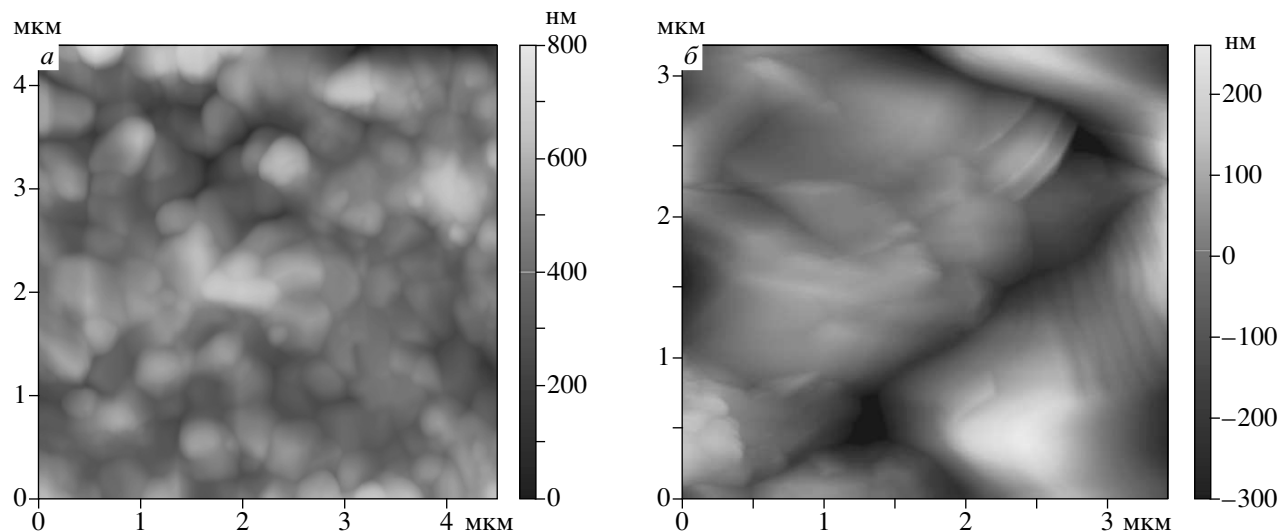


Рис. 1. ACM-изображения поверхности сколов образцов с 15 вес. % Fe, скомпактированных при  $W = 0$  кВт и спеченных при  $T = 1400^\circ\text{C}$  и выдержке  $t = 0.5$  ч (а) и  $T = 1450^\circ\text{C}$ ,  $t = 2$  ч (б)

Этот эффект связан с соразмерностью части фрагментов структуры и длины волн тепловых фононов. Наличие фракции металла вnanoструктурных композитах может существенно изменять транспортные свойства фононов субтерагерцевого диапазона не только по причине резонансного рассеяния на фрагментах структуры, но и из-за эффективного электрон-фононного взаимодействия в зернах металла в условиях низких температур, когда  $ql_{el} \gg 1$  ( $q$  — волновой вектор фона,  $l_{el}$  — длина свободного пробега электрона в металле).

Цель работы — изучение транспортных свойств фононов субтерагерцевого диапазона, особенностей фононного спектра и структуры нанодисперсных железосодержащих керметов на основе матрицы  $\text{Al}_2\text{O}_3$ .

## 2. ОПИСАНИЕ СТРУКТУРЫ ИССЛЕДУЕМЫХ ОБРАЗЦОВ

Смеси исходных порошков для создания образцов керметов с нанодисперсной фракцией железа (5, 10, 15 вес. %) подвергались предварительной механической активации. Технологические детали обработки исходных порошков карбонильного железа и оксидов  $\text{Al}_2\text{O}_3$  приведены в работе [7]. Компактирование порошков осуществлялось методом сухого изостатического прессования при одновременном воздействии ультразвуковых волн [8]. Мощность воз-

действия составляла  $W = 0, 1, 3$  кВт. Отжиг образцов проводился в резистивной печи в вакууме  $1.33 \cdot 10^2$  Па при  $T = 1400^\circ\text{C}$ . Согласно данным рентгеноструктурного и рентгенофазового анализа, в системе наблюдается фазовый переход метастабильных оксидов алюминия в высокотемпературную  $\alpha$ -фазу и формирование шпинельной фазы  $\text{FeAl}_2\text{O}_4$  с одновременным уменьшением ширины структурных рефлексов  $\alpha$ -Fe вследствие процесса рекристаллизации. Размер областей когерентного рассеяния  $\text{Al}_2\text{O}_3$  составлял 60–160 нм и слабо зависел от мощности ультразвукового воздействия (таблица). Содержание шпинельной фазы не превышало 3 вес. %. По данным исследований методом атомно-молекулярной спектроскопии (ACM) поверхности сколов образцов в режиме топографии, кристаллиты  $\text{Al}_2\text{O}_3$  объединены в зерна, размер которых определяется температурой и временем выдержки и не зависит от содержания железа. На рис. 1а показана типичная для всех концентраций морфология поверхности сколов образцов, отожженных при температуре  $1400^\circ\text{C}$ , а на рис. 1б — для образца, отожженного при температуре  $1450^\circ\text{C}$  с двухчасовой выдержкой.

В режиме фазового контраста (рис. 2) на общем фоне поликристаллического ансамбля зерна металла видны в виде гранул размером  $R_{\text{Fe}} = 30$ –80 нм, которые распределены по поверхности скола равномерно и не образуют кластеров или перемычек. Форма гранул близка к сферической.

Таблица

№	Состав фаз, вес. %	W, кВт	Темп./время спекания, T/t, °C/ч	$R_{\text{Al}_2\text{O}_3}$ , нм	$D$ , $\text{см}^2/\text{с}$ , $T = 3.86 \text{ К}$	$h$
1	$\text{Al}_2\text{O}_3:5\% \text{Fe}$	0	1400/0.5	155	$4.24 \cdot 10^{-2}$	3
2	$\text{Al}_2\text{O}_3:10\% \text{Fe}$	0	1400/0.5	94	$3.26 \cdot 10^{-2}$	2
3	$\text{Al}_2\text{O}_3:15\% \text{Fe}$	0	1400/0.5	79	$2.30 \cdot 10^{-2}$	1
4	$\text{Al}_2\text{O}_3:15\% \text{Fe}$	0	1450/2	> 300	$2.27 \cdot 10^{-1}$	1
5	$\text{Al}_2\text{O}_3:5\% \text{Fe}$	1	1400/0.5	74	$3.2 \cdot 10^{-2}$	3
6	$\text{Al}_2\text{O}_3:10\% \text{Fe}$	1	1400/0.5	68	$2.86 \cdot 10^{-2}$	2
7	$\text{Al}_2\text{O}_3:15\% \text{Fe}$	1	1400/0.5	65	$2.65 \cdot 10^{-2}$	1
8	$\text{Al}_2\text{O}_3:5\% \text{Fe}$	3	1400/0.5	93	$5.60 \cdot 10^{-2}$	3
9	$\text{Al}_2\text{O}_3:10\% \text{Fe}$	3	1400/0.5	87	$3.38 \cdot 10^{-2}$	2

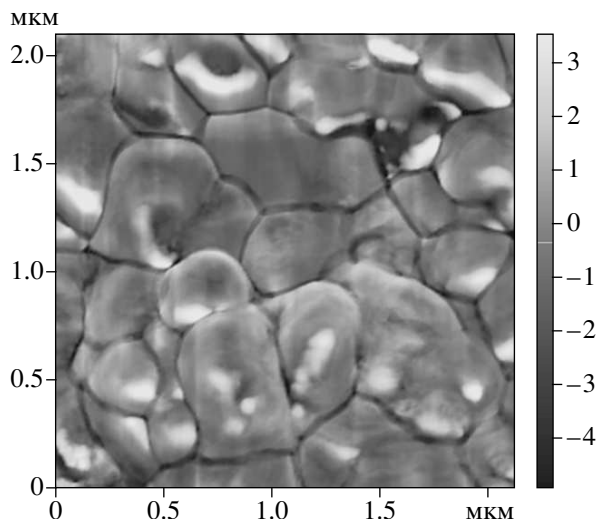


Рис. 2. ACM-изображение образца в режиме фазового контраста с 10 вес. % Fe. Светлые участки соответствуют более мягкой металлической фазе

### 3. МЕТОД ИССЛЕДОВАНИЯ КИНЕТИЧЕСКИХ ХАРАКТЕРИСТИК ТЕПЛОВЫХ ФОНОНОВ В ОБЛАСТИ ГЕЛИЕВЫХ ТЕМПЕРАТУР И АНАЛИЗ ЭКСПЕРИМЕНТАЛЬНЫХ РЕЗУЛЬТАТОВ

В работе анализировалось распространение слабонеравновесных тепловых фононов, создаваемых импульсным нагревом пленки металла (золота), нанесенной на один из торцов исследуемого образца. Образцы керметов  $\text{Al}_2\text{O}_3 + x\text{Fe}$  ( $x = 5, 10$ ,

15 вес. %) представляли собой тонкие пластины толщиной  $(1.3-1.5) \cdot 10^{-2}$  см и площадью около  $0.5 \text{ см}^2$ .

Прошедший через исследуемый образец импульс фононной неравновесности в режиме диффузии регистрировался на противоположном торце широкополосным приемником — болометром на основе сверхпроводящей пленки олова. Измерения проводились при гелиевых температурах, что позволяло преодолеть неупругим фонон-фононным рассеянием за время регистрации сигнала. Температура термостата  $T_0$  могла меняться в интервале 1.5–3.8 К путем откачки паров гелия. Рабочая точка болометра смешалась по температуре полем сверхпроводящего магнита, расположенного в непосредственной близости от болометра. Плотности мощности, выделяемые в пленке металла, составляли  $10^{-2}-10^{-1}$  Вт/мм<sup>2</sup> (длительность импульса около 100 нс). При этом пленка нагревалась до температуры  $T_h$ , такой что  $\Delta T = T_h - T_0 \ll T_0$ . Это позволяло считать, что распределение термализованных в пленке инжектора фононов имело температуру термостата, а проведение измерений при различных  $T_0$  — получать температурные характеристики рассеяния неравновесных фононов (НФ) тепловых частот. Диффузионный характер распространения НФ описывается уравнением

$$\frac{\partial^2 T}{\partial x^2} = \frac{1}{D} \frac{\partial T}{\partial t}, \quad (1)$$

где  $D = \kappa/c_v$  — коэффициент диффузии фононов,  $\kappa$  и  $c_v$  — соответственно теплопроводность и теплоемкость материала.

Измеряемой в экспериментах величиной является время  $t_m$  прихода на болометр максимума диф-

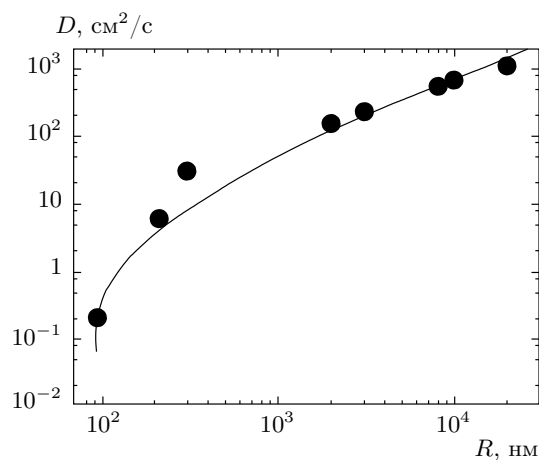


Рис. 3. Зависимость коэффициента диффузии от среднего размера зерна  $R$  в керамике  $\text{Al}_2\text{O}_3$  при  $T = 3.86 \text{ K}$  [9]

фузионного сигнала:  $t_m = L^2/2D$ , где  $D = lv/3$ ,  $l$  — длина свободного пробега НФ,  $v$  — средняя по поляризациям скорость фононов,  $L$  — размер образца в направлении распространения НФ.

На рис. 3 представлена зависимость  $D(R)$  при  $T = 3.86 \text{ K}$  ( $q \approx 1 \cdot 10^6 \text{ см}^{-1}$ ) в базовой керамике  $\text{Al}_2\text{O}_3$  из работы [9]. Видно, что при  $qR \geq 20$  (для  $\text{Al}_2\text{O}_3 v = 7.5 \cdot 10^5 \text{ см}/\text{с}$ )  $D(R) \propto R$ . Если  $qR < 10$ , что характерно для среднего размера зерна  $\text{Al}_2\text{O}_3$  в исследуемых керамиках, то помимо геометрического рассеяния достаточно четко начинает проявляться резонансное рассеяние НФ.

Структурные параметры образцов, условия технологических режимов, измеренные значения коэффициента диффузии при  $T = 3.86 \text{ K}$ , показатели температурных зависимостей  $D(T) \propto T^h$  в интервале температур 2.3–3.86 К приведены в таблице.

Из анализа экспериментальных результатов необходимо отметить три главные особенности.

1. Уменьшение коэффициентов диффузии при  $T = 3.86 \text{ K}$  по мере роста доли металлической фазы.

2. Очень малые значения коэффициента диффузии (на два порядка меньше, чем получаемые на основании зависимости  $D(R) \propto R$ ) в области геометрического рассеяния НФ (рис. 3).

3. Температурная зависимость имеет вид  $D(T) \propto T^h$  с показателем степени  $h = 1\text{--}3$ , который уменьшается по мере увеличения количества металлической фазы.

Казалось бы, с увеличением доли металлической фазы, теплопроводность которой при гелиевых тем-

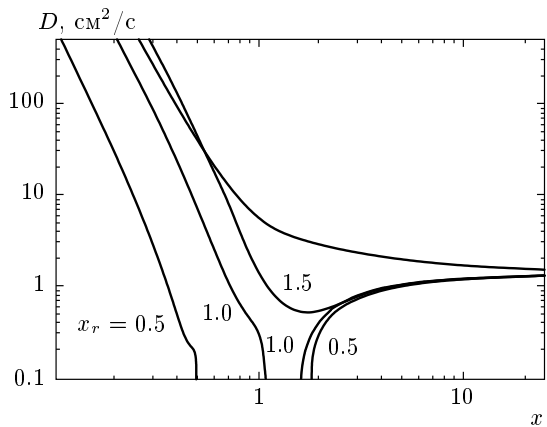


Рис. 4. Коэффициент диффузии  $D(x)$ , рассчитанный для значений резонансной частоты  $x_r = 0.5, 1.0, 1.5$  [6]. Верхняя кривая — случай абсолютно твердых сфер

пературах больше теплопроводности корунда, должна возрастать теплопроводность композита, а следовательно, и коэффициент диффузии фононов в макроскопическом диэлектрическом образце [10]. Однако в наших исследованиях наблюдается уменьшение коэффициента диффузии НФ по мере увеличения фракции металла.

С другой стороны, в нашей предыдущей работе [6] была представлена теоретическая модель, описывающая транспорт НФ вnanoструктурных керамиках, основанная на концепции случайно распределенных в пространстве сферических оболочек, моделирующих межзеренные границы, с упругими свойствами, отличными от упругих свойств зерен. Было показано, что перестройка фонового спектра керамики за счет рассеяния фононов на nanoструктурных объектах в области  $qR \sim 1$  может приводить к различным температурным зависимостям коэффициента диффузии НФ и значительному уменьшению его абсолютных значений. Но для исследуемых в работе керметов данная модель не применима. Поясним это на простом примере.

На рис. 4 из работы [6] представлены зависимости коэффициента диффузии от параметра  $x = qR_{\text{Al}_2\text{O}_3} \propto T$  при различных значениях параметра  $x_r = \omega_r R_{\text{Al}_2\text{O}_3}/v$ , где  $\omega_r$  — резонансная частота рассеяния НФ на оболочках радиуса  $R$ . Параметр  $x_r$  является основным параметром модели, при изменении которого можно получить широкий спектр значений коэффициента диффузии и его температурной зависимости в области  $qR$  порядка нескольких единиц, что и демонстрирует рис. 4. Тем не менее

измеренные в данной работе значения коэффициента диффузии  $D \leq 0.05 \text{ см}^2/\text{с}$  при  $T = 3.86 \text{ К}$  могут реализоваться только у края щели, где коэффициент диффузии растет с температурой экспоненциально, что не соответствует наблюдаемым температурным зависимостям  $D(T) \propto T^h$ ,  $h = 1\text{--}3$ . Наличие в системе более мелких включений (металлическая фракция), изменяя положение щели (минимума), качественно не может изменить характер поведения зависимости  $D(T)$ , т. е. для объяснения полученных результатов необходимо привлечь дополнительный механизм — например, рассмотреть зерна металла как центры захвата НФ.

Тот факт, что фрагменты нанодисперсной фракции металла могут являться «ловушками» НФ, следует из соотношения времени  $\tau_{e-ph}$  электрон-фононного взаимодействия и времени  $\tau_R$  баллистического пробега НФ в объеме зерна железа,  $\tau_R = R_{\text{Fe}}/vc$  ( $c$  — коэффициент выхода НФ из зерна,  $10^{-2} < c < 1$ ). Если

$$\tau_{e-ph} \ll \tau_R, \quad (2)$$

то зерна металла могут являться ловушками для НФ. При  $ql_{el} \gg 1$  [11]

$$\tau_{e-ph} = \frac{6\rho v}{\pi n m v_F} \frac{1}{\omega},$$

где  $n$  и  $\rho$  — концентрация и плотность железа,  $m$  — масса электрона,  $v_F$  — скорость Ферми. Оценки показывают, что неравенство (2) в условиях эксперимента выполняется для  $\omega \geq 10^{12}$  ( $c = 0.1$ ). В то же время  $\omega = kT/\hbar = 5 \cdot 10^{11} \text{ с}^{-1}$  при  $T = 4 \text{ К}$ . Таким образом НФ с частотой  $\omega > (2\text{--}3)kT/\hbar$  из области фононного спектра, соответствующей максимуму спектральной плотности планковского распределения, при  $T \geq 4 \text{ К}$  успевают провзаимодействовать с электронами металла.

О наличии факторов, затрудняющих выход НФ из зерен металла может свидетельствовать тот факт, что акустические импедансы металла и корунда существенно различны. Если вокруг зерен металлической фазы имеется прослойка шпинели  $\text{FeAl}_2\text{O}_4$ , то соотношение акустических импедансов железа и шпинели составляет примерно 2:1, что должно затруднить выход НФ из зерна в поликристаллическую матрицу  $\text{Al}_2\text{O}_3$ .

Детальный анализ влияния структуры межзеренных границ на рассеяние НФ остался за пределами рассмотрения в данной работе. Определить корректно вклад рассеяния НФ на межзеренных границах в условиях нашего эксперимента можно только в области геометрического рассеяния  $qR \gg 1$ , когда в плотных диэлектрических керамиках  $D \propto Rvf_\omega$ ,

где  $f_\omega$  — вероятность рассеяния НФ частоты  $\omega$  при прохождении через межзеренные границы [12]. В этом случае граница моделируется как плоский слой между фрагментами материала (зернами). В случае  $qR \sim 1$  рассмотрение этого вопроса в многофазной системе требует привлечения большого количества взаимозависимых параметров [6]. В работе [9] показано, что при уменьшении температуры и времени спекания керамик с целью получения материала с меньшим размером зерна, увеличивается толщина межзеренной границы, уменьшаются ее акустический импеданс и упругость, что приводит к уменьшению абсолютных значений коэффициента диффузии и изменению температурной зависимости  $D(T)$ . Уменьшение упругости материала границы по сравнению с материалом зерна матрицы увеличивает эффективность резонансного рассеяния НФ в области  $qR \sim 1$  [6], о чем, в частности, свидетельствует «ослабление» зависимости  $D(R)$  уже при  $qR_{\text{Al}_2\text{O}_3} < 20$  (см. рис. 3).

Как следует из результатов проведенных измерений, коэффициент диффузии НФ в условиях эффективного электрон-фононного взаимодействия («пленения» НФ на металлических включениях) имеет значения на один–два порядка величины меньше, чем в аналогичной поликристаллической матрице  $\text{Al}_2\text{O}_3$ , что, в основном, и определяет транспортные свойства НФ в условиях нашего эксперимента.

Модель процесса распространения НФ в присутствии центров захвата рассмотрена в работах [13, 14] при анализе экспериментальных результатов по распространению НФ в твердых растворах с парамагнитными центрами  $\text{Y}_{3-x}(\text{Er},\text{Ho})_x\text{Al}_5\text{O}_{12}$ . Согласно полученным результатам, процесс распространения δ-образного теплового импульса в бесконечной одномерной среде описывается двумя коэффициентами диффузии, характеризующими «быстрый» и «медленный» процессы.

Для пространственного фурье-образа распределения температуры в момент времени  $t$  было получено следующее выражение [13, 14]:

$$S(t, k) = S(0) \left\{ A_1(k) \exp [-k^2 D_1(k)t] + A_2(k) \exp [-k^2 D_2(k)t] \right\}, \quad (3)$$

в котором коэффициенты диффузии определяются согласно формуле

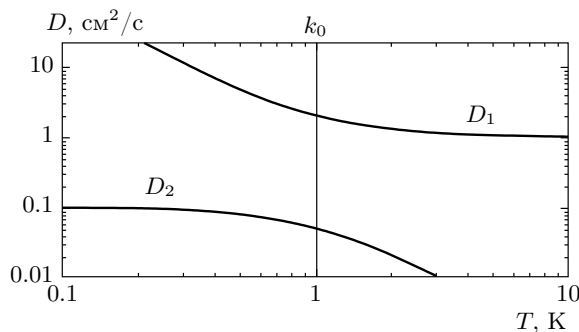


Рис. 5. Дисперсия коэффициентов диффузии  $D(T)$  согласно расчету по формулам (3) и (4)

$$\frac{D_{1,2}(k')}{D_0} k'^2 = \frac{1}{2} \left[ k_0^2 + k^2 \pm \sqrt{(k_0^2 + k'^2)^2 - 4k'^2 k_0^2 C} \right]. \quad (4)$$

Здесь  $k' = kL$ , где  $L$  — координата точки измерения температуры (длина образца);  $D_0$  — коэффициент диффузии, определяемый только упругим рассеянием фононов в материале матрицы.

Дисперсия коэффициентов диффузии показана на рис. 5. Из рисунка следует, что важнейшим параметром задачи является величина  $k_0$ . При  $k' < k_0$  (для определенности будем считать, что  $D_1 > D_2$ ) вклад в распределение температурного поля дают только медленные процессы, характеризующиеся эффективным коэффициентом диффузии  $D_2 = CD_0$ . Величины  $C$  и  $k_0$  являются физическими параметрами системы:  $C$  определяет долю вклада фононной подсистемы ( $c_{ph}$ ) в общую теплоемкость образца,

$$C = c_{ph}/(c_{ph} + c_{tr}) < 1,$$

где  $c_{tr}$  — теплоемкость центров захвата, а величина

$$k_0 = \sqrt{2t_0/\tau_{e-ph}} = \sqrt{L^2/D_0\tau_{e-ph}}$$

пропорциональна числу фононов, успевших неупруго провзаимодействовать с центрами захвата (попасть в ловушку) за время прохождения по образцу расстояния  $L$ . Так как условие  $k_0 \gg 1$  выполняется, быстрыми процессами с характерным коэффициентом диффузии  $D_1 = D_0$  можно пренебречь, а эффективный коэффициент диффузии процесса удобно представить в виде

$$D_{eff} = \frac{D_0}{1 + c_{tr}/c_{ph}}. \quad (5)$$

В рассматриваемых керметах центрами захвата являются металлические включения, поскольку в про-

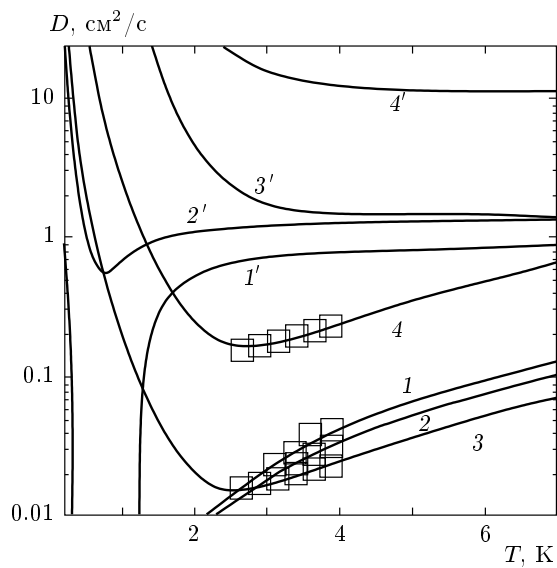
цессе прохождения волнового пакета фононов по образцу выполняется условие (2). С учетом удельной теплоемкости матрицы и металлических включений зависимость  $D_{eff}$  от весовой концентрации  $p$  железа в этом случае имеет вид

$$D_{eff} = \frac{D_0}{1 + \frac{pc_{Fe}}{(1-p)c_{Al_2O_3}}}. \quad (6)$$

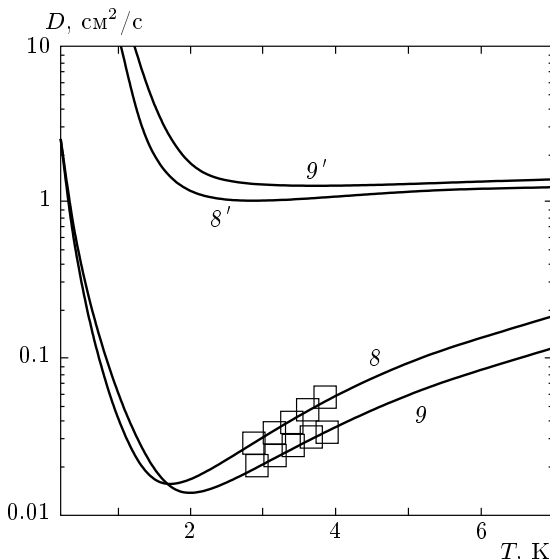
Так как электронная теплоемкость железа при концентрации порядка 10 вес. % при гелиевых температурах примерно на два порядка превышает теплоемкость  $c_{Al_2O_3}$  фононной подсистемы, из представленного выражения следует, что с ростом концентрации железа величина  $D_{eff}$  будет уменьшаться,  $D \propto 1/p$ . При гелиевых температурах  $c_{el}/c_{ph} \propto T^{-2}$ , поэтому  $D_{eff} \propto D_0 T^2$ . В диэлектрических керамиках величина  $D_0$  определяется упругим рассеянием фононов на границах зерен, т. е. ведет себя согласно модели из работы [6], и из рис. 4 видно, что наблюдаемую температурную зависимость  $D \propto T^h$  ( $h = 1-3$ ) можно получить для фононов с  $qR$  порядка нескольких единиц (справа от щели в фононном спектре), что соответствует эксперименту.

На рис. 6 приведены экспериментальные и теоретические зависимости  $D(T)$  под номерами, указанными в таблице. Цифрами со штрихами указаны теоретические зависимости коэффициентов диффузии в структуре поликристаллической матрицы  $Al_2O_3$ , рассчитанные согласно [6] без учета захвата НФ мелкими включениями фракции железа. Теоретические зависимости, описывающие эксперимент, получены с учетом выражения (6), учитывающего отношение теплоемкостей в данной области температур. При этом наблюдается уменьшение абсолютных значений  $D$  при  $T = 3.86$  К и ослабление температурной зависимости  $D(T)$  по мере роста концентрации фракции железа, что, согласно [6], свидетельствует об увеличении резонансной частоты  $\omega_r$ , обусловленной рассеянием НФ на фрагментах структуры исследуемого образца. Зависимости 4' и 4 на рис. 6 соответствуют образцу с более крупным размером зерен поликристаллической матрицы ( $T/t = 1450/2$ ,  $t$  — время спекания) и той же, что и для кривых 3' и 3 нанодисперсной фракцией железа, составляющей 15 вес. %. Значения коэффициента диффузии при этом возросли на порядок величины за счет ослабления резонансного характера рассеяния НФ на увеличившихся в размерах зернах фракции  $Al_2O_3$ .

Хорошо известно, что ультразвуковое воздействие приводит к изменению дисперсности керамической матрицы [15, 16]. Как следует из результатов,



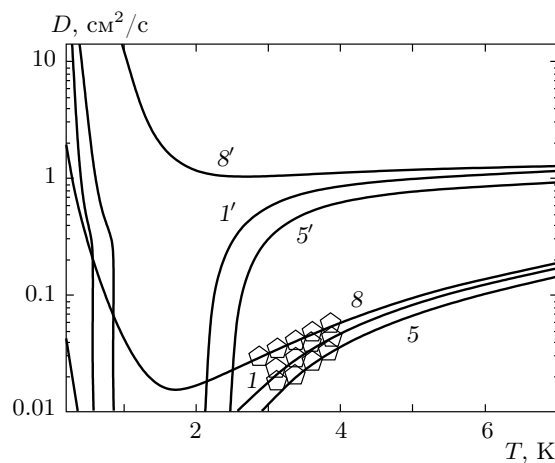
**Рис. 6.** Температурные зависимости  $D(T)$  для образцов керметов, синтезированных без ультразвукового воздействия на стадии компактирования: кривые  $1'-4'$  — теоретические зависимости  $D_0(T)$  в структуре поликристаллической матрицы, рассчитанные без учета фракции железа, согласно [6]; кривые  $1-4$  — теоретические зависимости, рассчитанные из выражения (6); квадраты — экспериментальные данные (номера кривых соответствуют номерам в таблице)



**Рис. 7.** Температурные зависимости  $D(T)$  для образцов керметов, синтезированных при воздействии ультразвука мощностью 3 кВт: кривые  $8', 9'$  — теоретические зависимости  $D_0(T)$  в структуре поликристаллической матрицы, рассчитанные без учета фракции железа, согласно [6]; кривые 8, 9 — теоретические зависимости, рассчитанные из выражения (6); квадраты — экспериментальные данные (номера кривых соответствуют номерам в таблице)

представленных на рис. 7, 8, эти изменения в структуре оказывают влияние и на коэффициент диффузии образцов. Так, ультразвуковое воздействие мощностью  $W = 3$  кВт инициирует процесс рекристаллизации во время спекания образцов, что приводит к уменьшению дефектности границ при одновременном увеличении размеров зерен, что и находит свое отражение на рис. 7 в поведении коэффициента диффузии, который описывается большими значениями  $x_r$  и  $R$ . При  $W = 1$  кВт, наоборот, усиливается диспергирование в структуре зерен  $\text{Al}_2\text{O}_3$  по сравнению со случаем отсутствия  $W = 0$  на стадии компактирования, что приводит к уменьшению  $x_r$ . Результаты таких изменений в структуре композита с содержанием 5 вес. % Fe отражены на рис. 8.

Таким образом, методом фононной спектроскопии в субтерагерцевом диапазоне изучены особенности фононного транспорта в нанодисперсных композитах  $\text{Al}_2\text{O}_3 + x\text{Fe}$  ( $x = 5, 10, 15$  вес. %) при различных условиях синтеза. Использование механоактивированной смеси оксида алюминия и nanoструктурного железа позволяет сохранять nanoразмерный характер зерен железа в образ-



**Рис. 8.** Температурные зависимости  $D(T)$  для образцов керметов с 5 вес. % Fe, синтезированных при воздействии ультразвуком мощностью 0 кВт ( $1, 1'$ ); 1 кВт ( $5, 5'$ ); 3 кВт ( $8, 8'$ ), значки — экспериментальные данные (номера кривых соответствуют номерам в таблице)

цах. Показано, что из-за малого размера зерен железа (30–80 нм) они не являются эффективными переносчиками температуры, а, обладая высокой теплоемкостью, служат центрами захвата для тепловых фононов субтерагерцевых частот в поликристаллической диэлектрической матрице  $\text{Al}_2\text{O}_3$ , что и определяет теплофизические свойства исследуемого материала.

Работа выполнена при поддержке РФФИ (гранты №№ 07-02-00391, 06-08-00512, 06-08-96932) и Международного научно-технического центра (проект № 3719).

## ЛИТЕРАТУРА

1. П. С. Кислый, Н. И. Бондарук, М. С. Боровикова и др., *Керметы*, Наук. думка, Киев (1985).
2. S. Schicker, T. Erny, D. E. Garcia et al., J. Eur. Ceram. Soc. **19**, 2455 (1999).
3. J. L. Guichard, O. Tillement, and A. Mocellin, J. Eur. Ceram. Soc. **18**, 1743 (1998).
4. Y. Ji and J. A. Yeomans, J. Eur. Ceram. Soc. **22**, 1927 (2002).
5. D.-M. Liu, W. H. Tuan, and Ch.-Ch. Chiu, Meter. Sci. Engin. B **31**, 287 (1995).
6. В. В. Иванов, Е. И. Саламатов, А. В. Таранов, Е. Н. Хасанов, ЖЭТФ **133**, 339 (2008).
7. A. A. Abramovich, O. V. Karban, V. V. Ivanov et al., Glass Phys. Chem. **31**, 709 (2005).
8. О. Л. Хасанов, В. М. Соколов, Э. С. Двилис и др., Перспективные материалы **1**, 76 (2002).
9. Ю. Н. Барабаненков, В. В. Иванов, С. Н. Иванов и др., ЖЭТФ **129**, 131 (2006).
10. D. V. Liu and W. Y. Tuan, Acta Mater. **44**, 813 (1996).
11. A. B. Pippard, Phil. Mag. **46**, 1104 (1955).
12. Ю. Н. Барабаненков, В. В. Иванов, С. Н. Иванов и др., ЖЭТФ **119**, 546 (2001).
13. Е. И. Саламатов, ФТТ **44**, 935 (2002).
14. Е. И. Саламатов, ФТТ **45**, 691 (2003).
15. О. Л. Хасанов, Ю. П. Похолков, В. М. Соколов и др., Стекло и керамика **7**, 15 (1995).
16. О. В. Карбань, О. Л. Хасанов, О. М. Канунникова, Ж. структурной химии **45**, 149 (2004).